

# SOLUTION FONDAMENTALE<sup>1</sup>

## MOTIVATION

Calcul formel basé sur  $\mathcal{F}$ :

On se donne  $f$ , on cherche  $u$

$$\text{tg} \quad P(\partial) u = f$$

notation compacte pour une EDP  
linéaire à coeff. constants

Exemples:

- Chaleur :  $\partial_t - \Delta_x = P(\partial)$

$$P(\partial)u = \partial_t u - \Delta_x u$$

Symbole:  $t - x_1^2 - \dots - x_n^2 =$   
 $t - |x|^2 = P(x, t)$

• Laplace  $\Delta = P(\partial)$   
 Symbole  $x_1^2 + \dots + x_n^2 = |x|^2 = P(x)$

• Schrödinger  $i\partial_t + \Delta_x u = P(\partial)$   
 Symbole  $it + x_1^2 + \dots + x_n^2 =$   
 $it + |x|^2 = P(x, t)$

• Ondes  $\partial_t^2 - \Delta_x = P(\partial)$   
 Symbole  $t^2 - |x|^2 = P(x, t)$

---

Retour à la résolution de

$P(\partial)u = f$

" $\Rightarrow$ "  $P(i\xi) \hat{u}(\xi) = \hat{f}(\xi)$

" $\Rightarrow$ "  $\hat{u}(\xi) = \frac{1}{P(i\xi)} \hat{f}(\xi)$  " $\Rightarrow$ "

" $\Rightarrow$ "  $u = K * f$ , où  $\hat{K}(\xi) = \frac{1}{P(i\xi)}$ .<sup>3</sup>

Définition. Soit  $P(\partial)$  un opérateur linéaire à coefficients constants.

$E \in L^1_{loc}$  est solution fonda-

notation consacrée  
pour le  $K$  ci-dessus

mentale (ou solution élémentaire)

de  $P(\partial)$  si :

$\forall f \in C_c^\infty(\mathbb{R}^n)$ ,  $u := E * f$   
est solution (classique) de  
 $P(\partial)u = f$ .



Proposition.  $E$  solution fondamentale  $\Leftrightarrow$

$$\int_{\mathbb{R}^n} E(-x) (P(\partial)\varphi(x)) dx = \varphi(0), \forall \varphi \in C_c^\infty(\mathbb{R}^n)$$

Preuve: " $\Rightarrow$ "  $\forall f \in C_c^\infty(\mathbb{R}^n)$ ;

$$f = P(\partial)[E * f] = E * (P(\partial)f) =$$

$$\begin{array}{ccc} \uparrow & \uparrow & \\ \in L^1_{loc} & \in C_c^\infty & \end{array}$$

$$\int E(\cdot - x) P(\partial)f(x) dx \Rightarrow$$

$$\int E(-x) P(\partial)f(x) dx = f(0). \quad \square$$

" $\Leftarrow$ "  $\varphi(x) = f(y+x)$ ,  $x \in \mathbb{R}^n$ ,  
 $y$  fixe

$$f \in C_c^\infty \Rightarrow \varphi \in C_c^\infty \Rightarrow$$



$$\Rightarrow \varphi(y) = \int E(-x) P(a) \varphi(x) dx$$

$$\underset{\parallel}{=} f(y)$$

$$= \int E(-x) (P_x a) (f(x+y)) dx =$$

$$= \int E(-x) (P(a) f)'(x+y) dx =$$

$$\begin{array}{c} \uparrow \\ x \rightarrow -x \end{array}$$

$$(E * P(a) f)(x) = P(a) u(x) \quad \square$$

## FORMULES INTEGRALES MESURE SU PERFI CIELLE

Dans  $\mathbb{R}$  : 2 formules fondamentales

Leibniz-Newton  $\int_a^b f'(t) dt = f(b) - f(a)$

IPP  $\int_a^b f(t) g'(t) dt = f g \Big|_a^b - \int_a^b f'(t) g(t) dt$

Dans 2+ dimensions:

Leibniz-Newton + Fubini



Thm flux-divergence

(formule de Gauss-Ostrogradski)

IPP + Fubini



IPP

**Thm flux - divergence**

(hypothèses précises plus tard)

$$\int_{\Omega} \operatorname{div} F = \int_{\partial\Omega} \nu \cdot F \, d\sigma$$

↑  
 divergence du champ  
 de vecteurs  $F$

↑  
 normale  
 extérieure  
 à  $\Omega$

↑  
 mesure "super-  
 ficiale"

Points à clarifier:

- hypothèses sur  $F$

- $\xrightarrow{\quad\quad\quad} \Omega$

- comment calculer  $\int$

- $\xrightarrow{\quad\quad\quad} \int_{\partial\Omega} \dots d\sigma$

## Thm flux-divergence

Hyp.

$$F \in C^1(\bar{\Omega})$$

$\Omega$  Lipschitz

$\uparrow$   
 $\boxed{+ (HC)}$

plus tard

Concl.

$$\int_{\Omega} \operatorname{div} F = \int_{\partial\Omega} \nu \cdot F \, d\sigma$$



**(Hc)** : hypothèse de compacité:  
 au moins l'un des objets considérés  
 est à support compact.

Exemples:

• thm flux-divergence :  $\Omega$  rel  $\underline{nt}$   
 compact ou  $F \in C_c^1(\Omega)$

• IPP :  $\Omega$  rel  $\underline{nt}$  compact ou  
 $f \in C_c^1(\Omega)$  ou  $g \in C_c^1(\Omega)$

• Formules de Green:  $\dashv$

---

**$C^1(\bar{\Omega})$**  : dans  $\mathbb{R}$ ,  $f \in C^1([a, b])$

$\Leftrightarrow f \in C^1(a, b)$  et  $f'$  se

prolonge par continuité en  $a$  et  $b$ . <sup>9</sup>

Dans  $\mathbb{R}^n$ , si  $\Omega$  quelconque  $\rightarrow$  situation plus compliquée. Mais...

Thm (Whitney) (voir Hörmander,

Thm 2.3.6, p. 48)

Hyp.  $\Omega$  Lipschitz

Concl. Si  $f \in C^1(\Omega)$ , on a équivalence entre:

(i)  $f$  et  $\nabla f$  se prolongent par continuité à  $\bar{\Omega}$

(ii)  $\exists \tilde{f} \in C^1(\mathbb{R}^n)$  tq  $\tilde{f}|_{\Omega} = f$ .

Déf. Si (i) ou (ii), alors

$f \in C^1(\bar{\Omega})$

$\Omega$  Lipschitz

(de même  $\Omega \in C^1, C^2, \dots$ )

Intuitivement:  $\Omega \in$  "classe"  $\Leftrightarrow$   
 $\partial\Omega \in$  "classe" et  $\Omega$  est d'un  
seul côté de  $\partial\Omega$

Exemples:

$$\Omega = \mathbb{R}^2 \setminus \mathbb{R}$$

•

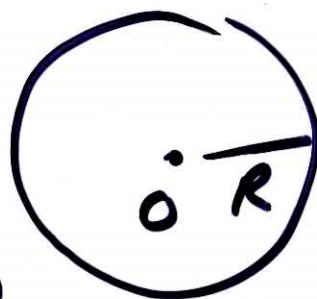
$\partial\Omega = \mathbb{R}$  est  $C^\infty$ , mais  $\Omega$  est  
 des deux côtés de  $\partial\Omega$

Donc  $\Omega \notin C^\infty$

•  $\Omega = B(0, R)$

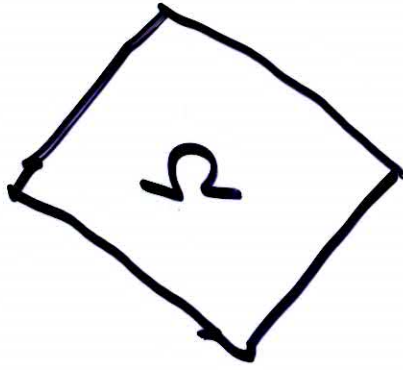
et

$\Omega = \mathbb{R}^n \setminus B(0, R)$



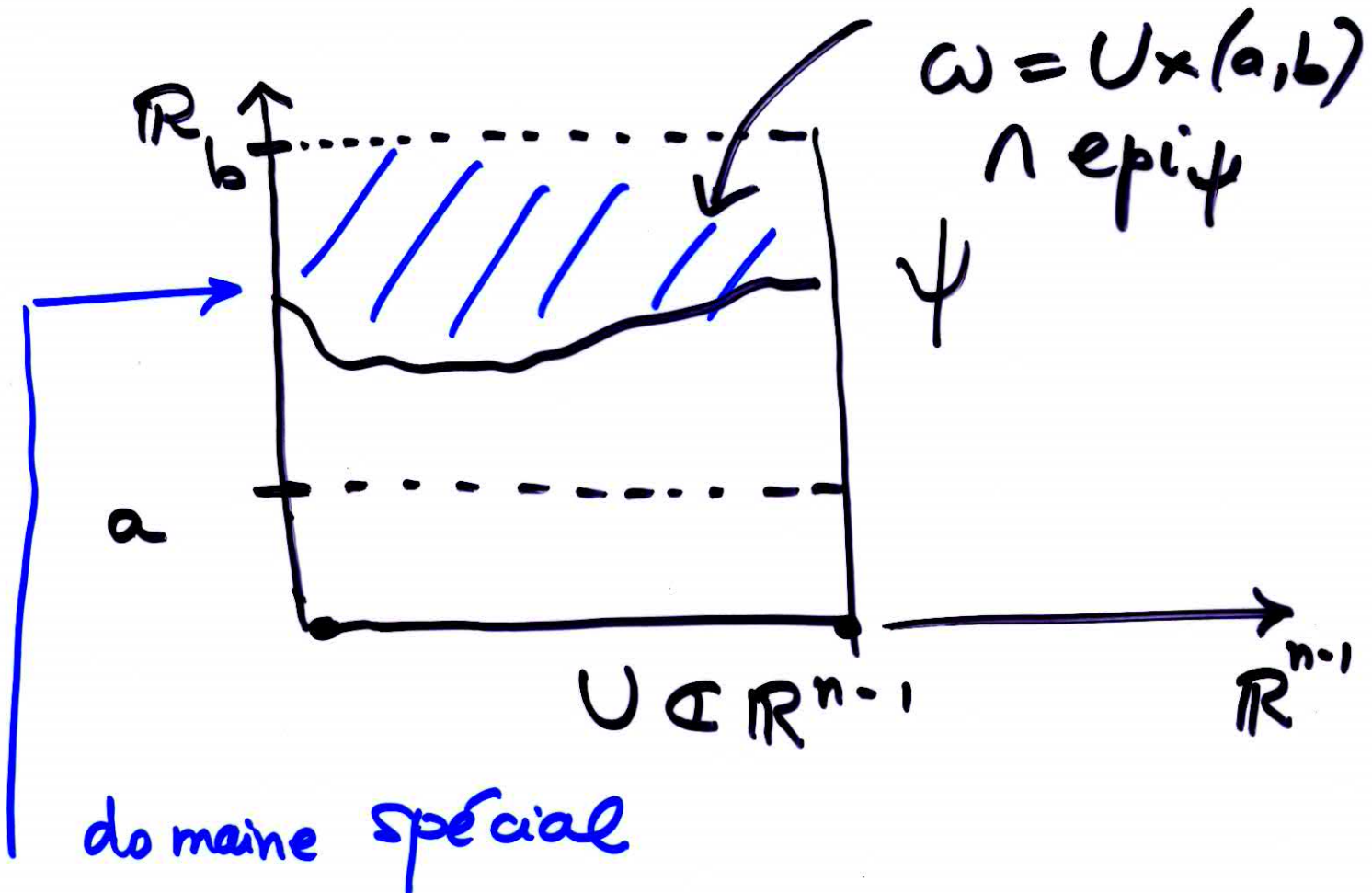
sont  $C^\infty$





$\Omega \in \text{Lip}$ ,  
mais  
 $\Omega \notin C^1$

Domaine spécial:



Données:  $U \subset \mathbb{R}^{n-1}$

$(a, b) \subset \mathbb{R}$

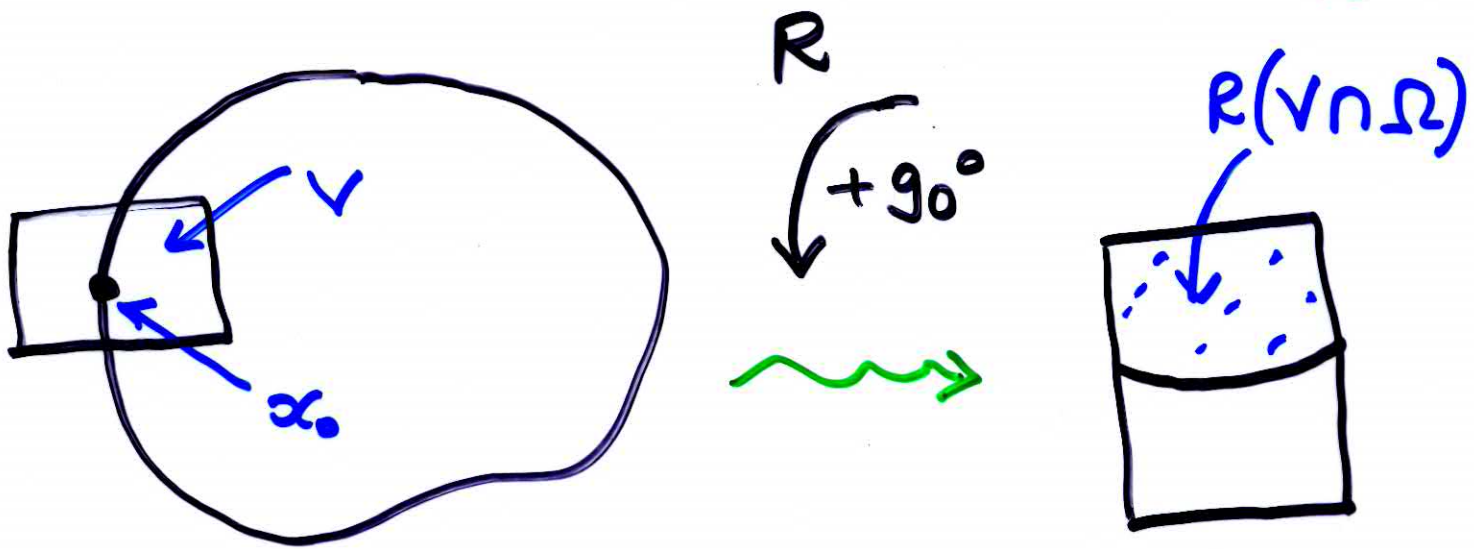
$\psi: U \rightarrow (a, b)$

Def.: Si  $\psi \in$  classe, alors  
 $\omega$  est un domaine spécial  
 $\in$  classe

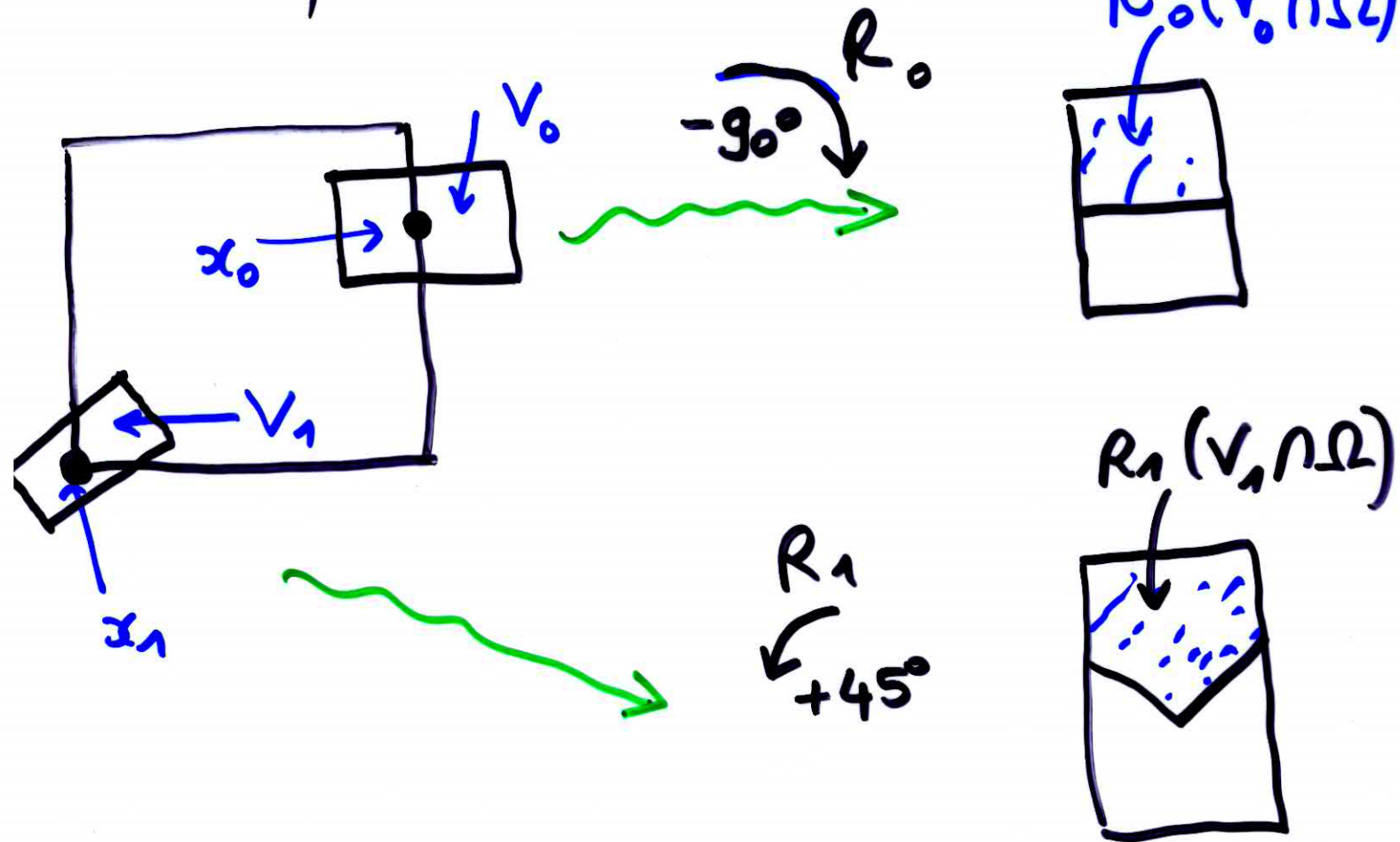
(Ex.:  $\psi \in C^1 \Rightarrow \omega$  spécial de classe  
 $C^1$ )

Def.  $\Omega \subset \mathbb{R}^n \in$  classe  $\stackrel{\text{def.}}{\iff}$

$\forall x_0 \in \partial\Omega, \exists V \subset \mathbb{R}^n$  voisinage  
 ouvert de  $x_0, \exists R \in \mathcal{O}(n)$   
 tq  $R(V \cap \Omega)$  soit spécial  
 $\in$  classe.



Exemple: le carré

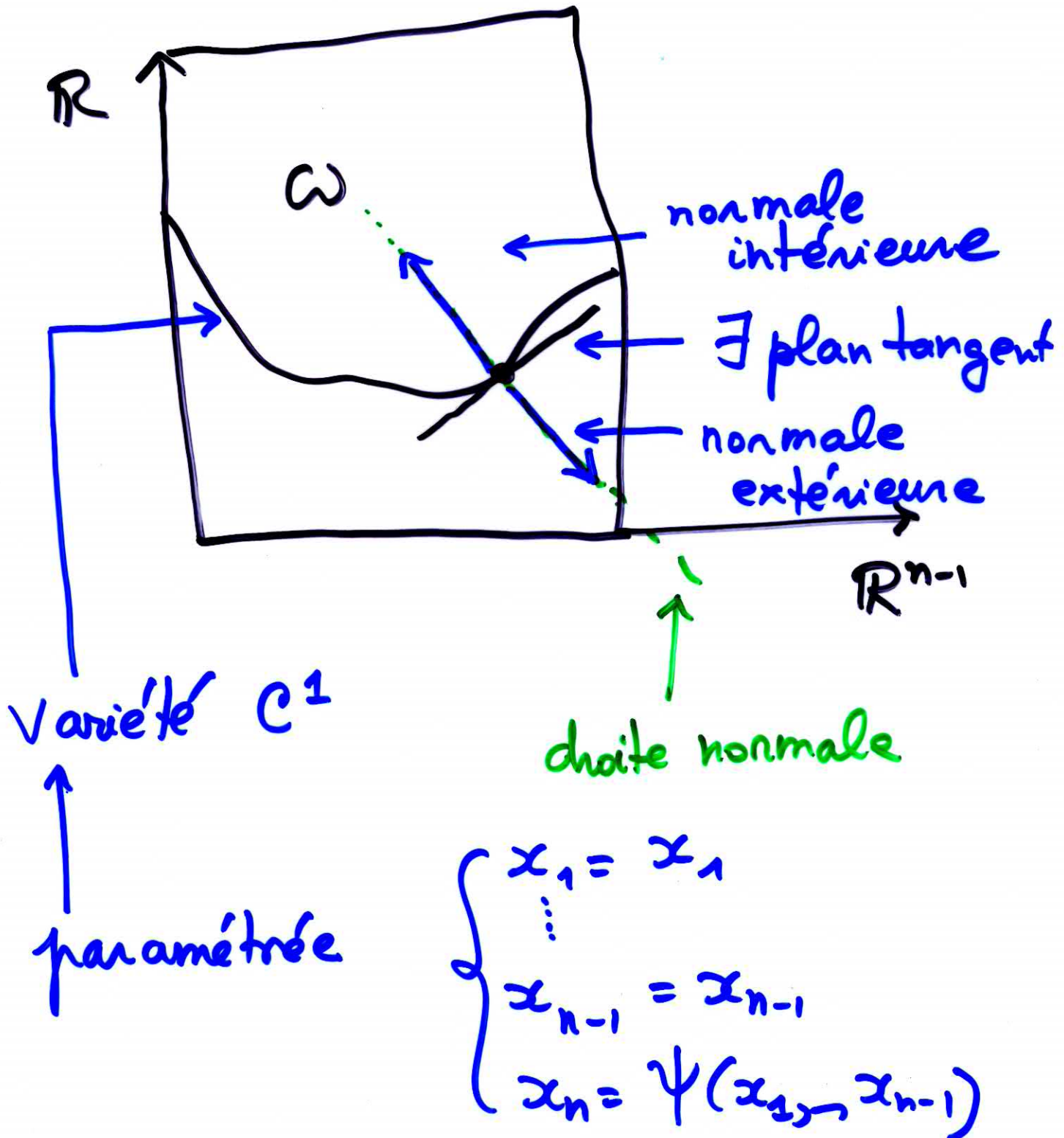


Concl. Un carré (cube, ...) est Lipschitz.



# Normale extérieure $\curvearrowright$

## 1) Domaine spécial au moins $C^1$



$$v(x) = \frac{(\nabla \Psi(x'), -1)}{\sqrt{1 + |\nabla \Psi(x')|^2}}$$

avec  $x = (\underbrace{x_1, \dots, x_{n-1}}_{x'}, x_n) = (x', x_n)$

## 2) Domaine spécial Lipschitz

⚠  $\Psi$  Lipschitz  $\not\Rightarrow$   $\Psi$  différentiable

(Ex:  $\Psi: \mathbb{R} \rightarrow \mathbb{R}, \Psi(x) = |x|$ )

**Thm Rademacher** (Evans, Gariepy, Thm 2, p. 81)

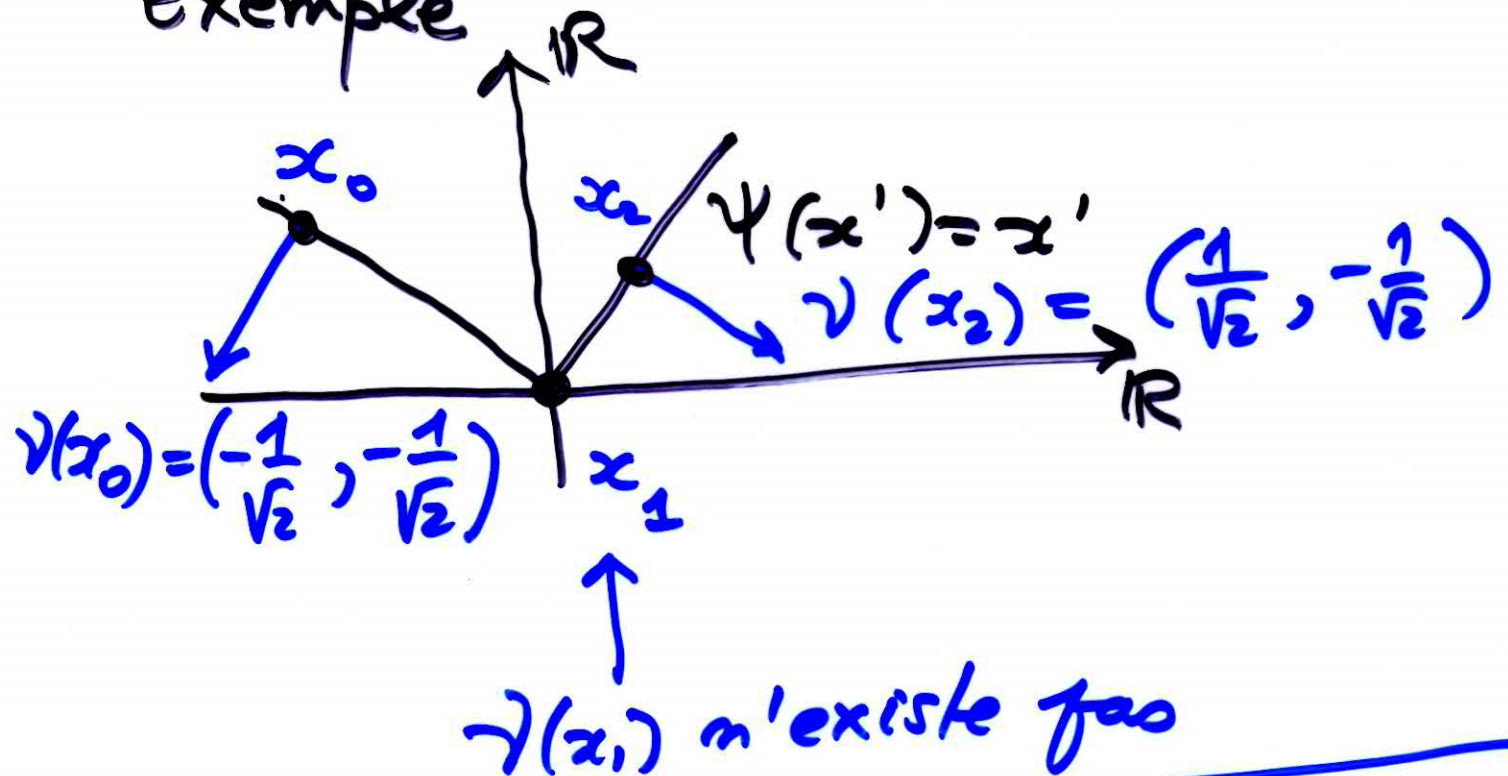
Hyp.  $\Psi: U \rightarrow \mathbb{R}$  Lipschitz  
( $U \subset \mathbb{R}^n$ )

Concl.  $\Psi$  différentiable p. p.

$\Omega$  spécial lipschitz  $\Rightarrow$  on définit p.p. dans  $\cup$

$$\nu(x) = \frac{(\nabla\psi(x'), -1)}{\sqrt{1 + |\nabla\psi(x')|^2}}$$

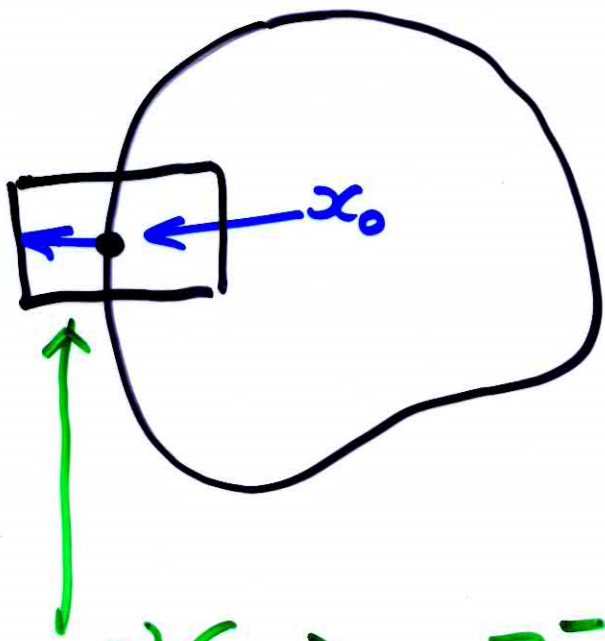
Exemple



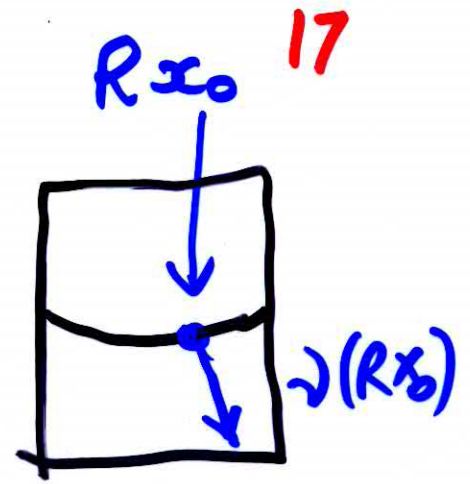
3) Cas général:  $\Omega \in \text{Lip}, \Omega \in C^1 \dots$

$\rightarrow$  par isométrie, on se ramène au cas spécial



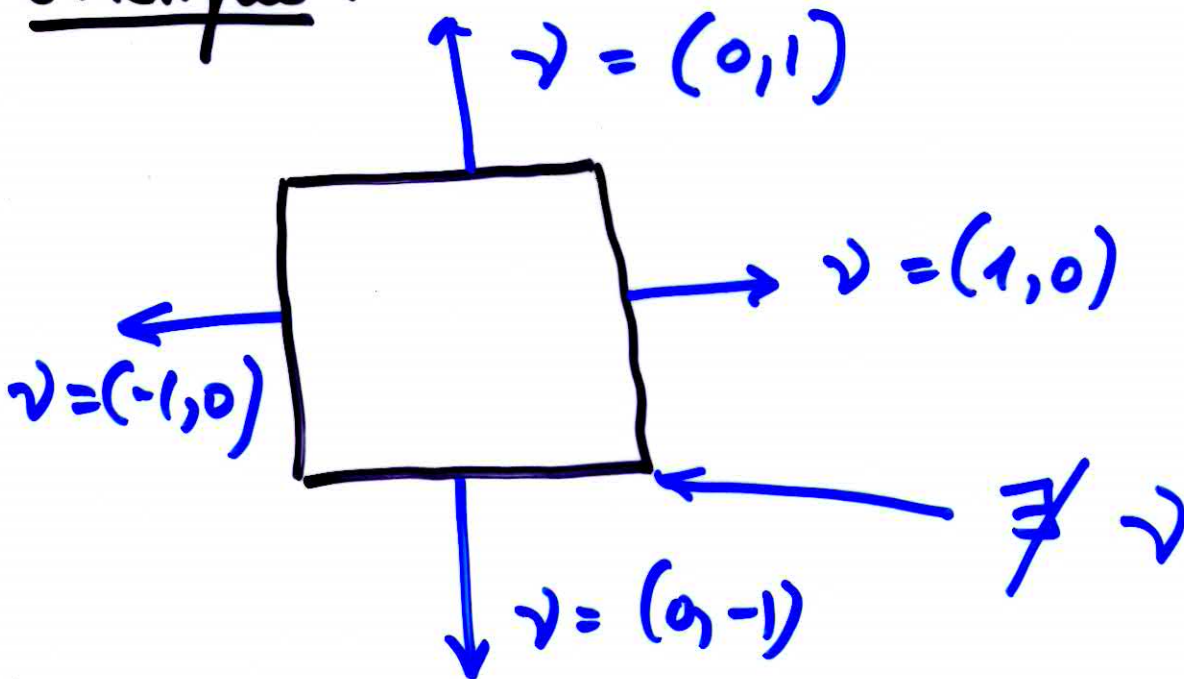


$R$   
 $+90^\circ$



$$v(x_0) = R^{-1} [v(Rx_0)]$$

Example :



# Proposition (très utile)

Hyp. •  $\varphi \in C^k(\mathbb{R}^n; \mathbb{R})$ ,  $k \geq 1$

•  $\exists x_0$  tq  $\varphi(x_0) = 0$

• Le système  $\begin{cases} \varphi(x) = 0 \\ \nabla\varphi(x) = 0 \end{cases}$

n'a pas de solution

Concl. •  $\Omega := \{x \in \mathbb{R}^n; \varphi(x) < 0\}$

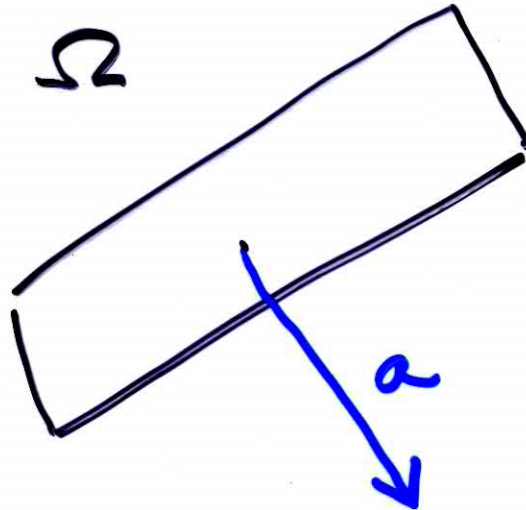
$\in C^k$

•  $\partial\Omega = \{x \in \mathbb{R}^n; \varphi(x) = 0\}$

• Si  $x_0 \in \partial\Omega \Rightarrow \nu(x_0) = \frac{\nabla\varphi(x_0)}{|\nabla\varphi(x_0)|}$ .

# Exemples

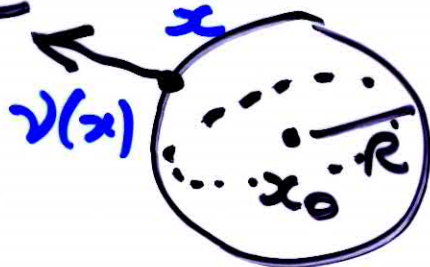
- Demi-espace



$$\Omega = \{x \in \mathbb{R}^n; \underbrace{x \cdot a - b}_{\varphi(x)} < 0\}$$

$$\nu(x) = \frac{a}{|a|} \quad \forall x \in \partial\Omega$$

- Boule



$$\varphi(x) = |x - x_0|^2 - R^2$$

$$\nu(x) = \frac{x - x_0}{|x - x_0|}$$

- Extérieur d'une  
boule

$$\Rightarrow \nu(x) = -\frac{x - x_0}{|x - x_0|}$$

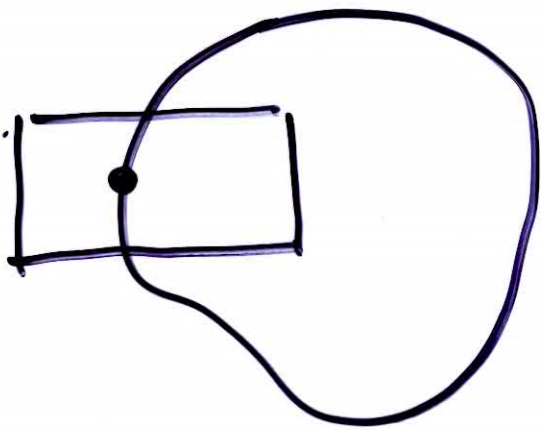


# Mesure superficielle

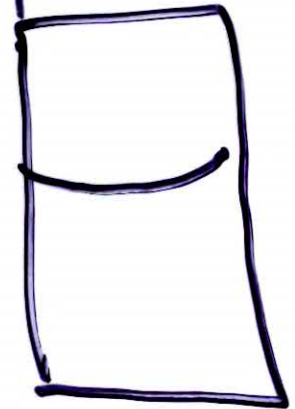
= mesure de Hausdorff  $(n-1)$ -dimensionnelle

not. =  $d\sigma$  ou  $d\mathcal{H}^{n-1}$ .

Localement,  $\partial\Omega$  est paramétré:



$R$   
 $\downarrow +90^\circ$



$U$

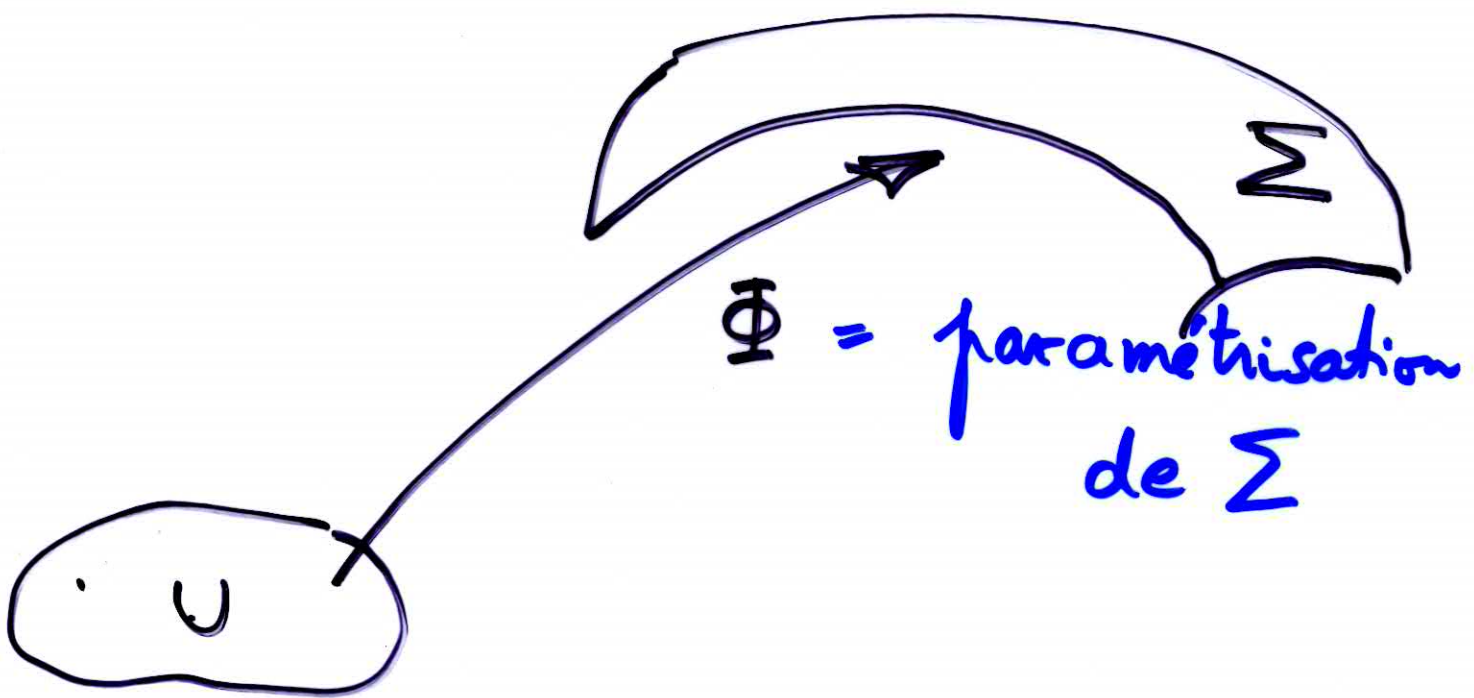
$U \ni x' \mapsto (x', \psi(x')) \mapsto$

$R^{-1}(x', \psi(x'))$

"En découpant  $\partial\Omega$  en morceaux"  
OPS  $\partial\Omega$  paramétré."

# Mesure superficielle d'une (hyper) surface paramétrée

(Evans-Gariepy, pp. 96-103)



$U \subset \mathbb{R}^n$  borné lién

$\Phi : U \rightarrow \mathbb{R}^{n+1}$  Lipschitz

$\Phi(U) = \Sigma$

$\Phi$  injective

"Élément de surface":

$$J\Phi(u) = \sqrt{\sum_{i=1}^n \text{mineurs}^2} \text{Jac}\Phi(u)$$

↑  
n mineurs



$$\int_{\Sigma} f(x) d\sigma(x) = \int_{\Sigma} f(x) d\mathcal{H}^{n-1}(x) =$$

$$\int_{\Sigma} f(\Phi(u)) J\Phi(u) du$$


↑  
défini p.p. (Thm de Rademacher)



# Examples :

•  ~~$d$~~   $y = ax + b$        $\Phi(x) = (x, ax + b)$

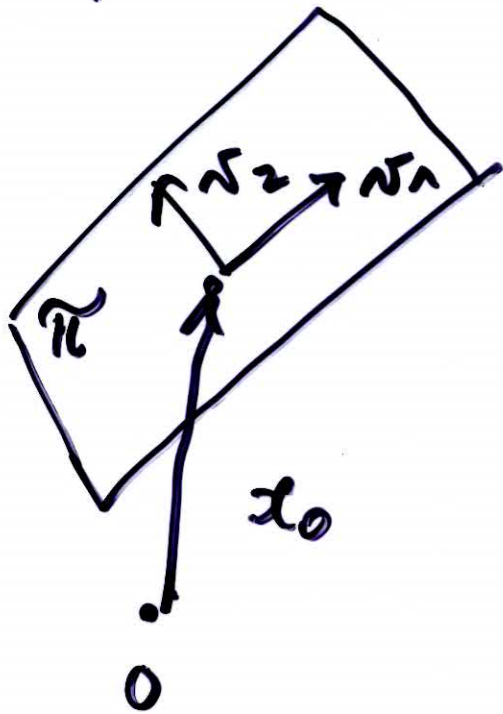
$$\int_d f(x, y) d\ell = \int_{\mathbb{R}} f(x, ax + b) \sqrt{1 + a^2} dx.$$

•   $\begin{cases} x = x(t) \\ y = y(t) \end{cases}, t \in I$

$$\int_{\gamma} f(x, y) d\ell = \int_I f(x(t), y(t)) \sqrt{x'(t)^2 + y'(t)^2} dt$$

•  $\int_{C(0, r)} f(x, y) d\ell = \int_0^{2\pi} f(r \cos \theta, r \sin \theta) r d\theta$

- Espace affine



$v_1, \dots, v_{n-1}$  BON  
de  $\pi \Rightarrow$

$$\int_{\tilde{n}} f(x) d\sigma(x) = \int d\mathcal{H}^{n-1}(x)$$

$$\int_{\mathbb{R}^{n-1}} f(x_0 + \sum_{j=1}^{n-1} t_j v_j)$$

$\times dt_1 \dots dt_{n-1}$

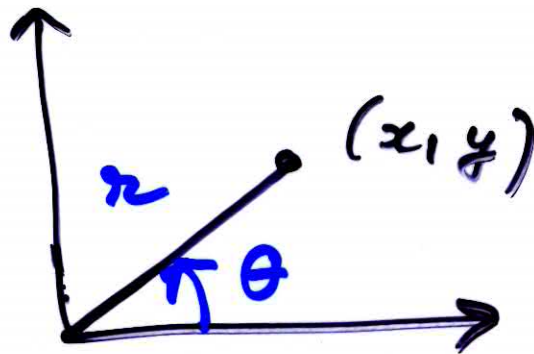
- Cas particulier:

$$\int_{\mathbb{R}^{n-1} \times \{a\}} f(x) d\sigma(x) = \int_{\mathbb{R}^{n-1}} f(x', a) dx'$$

# Coordonnées polaires, sphériques, ...

Plan ( $n=2$ )

$$\begin{cases} x = r \cos \theta \\ y = r \sin \theta \end{cases} = \Phi(r, \theta) \quad \begin{array}{l} r \geq 0 \\ \theta \in [0, 2\pi] \end{array}$$



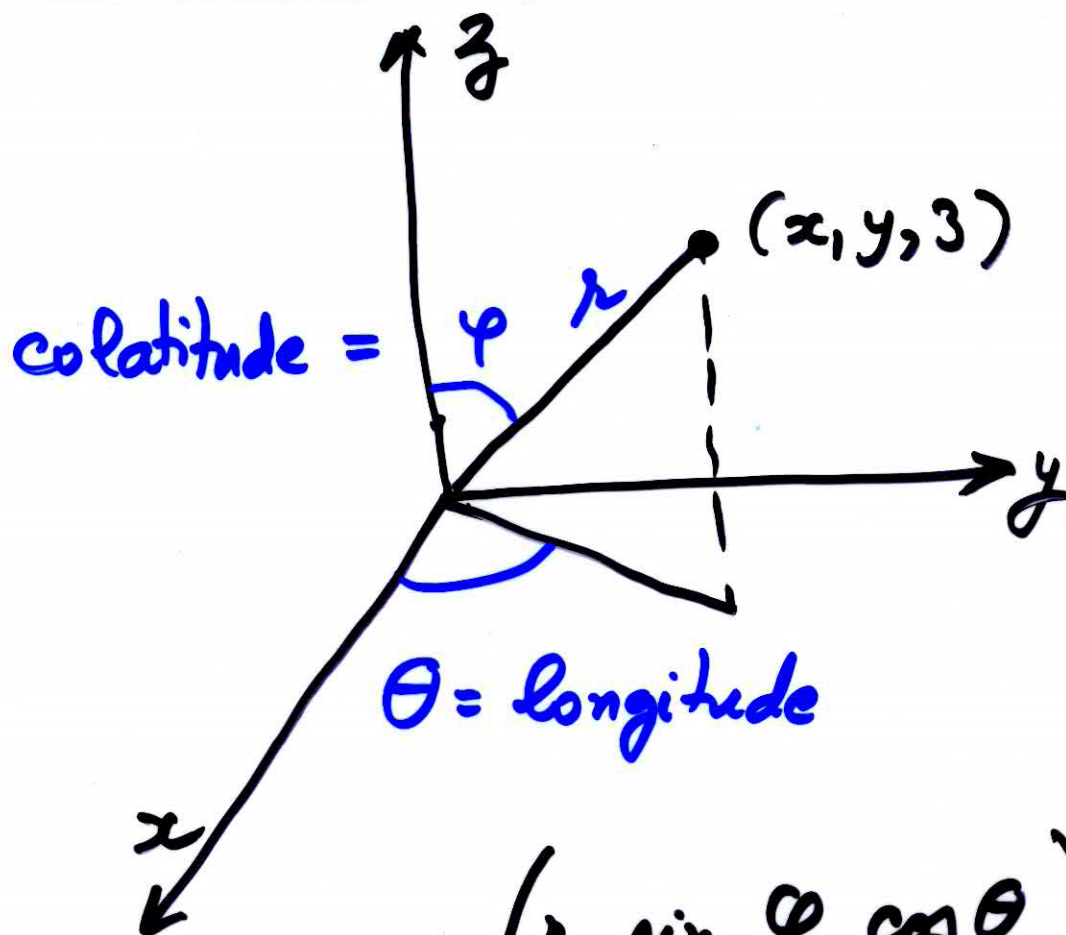
$$J\Phi(r, \theta) = r$$

à la fois pour la paramétrisation  
du plan et de  $C(0, r)$

même phénomène en toute dimension



Espace ( $n=3$ )



$$\Phi(r, \varphi, \theta) = \begin{pmatrix} r \sin \varphi \cos \theta \\ r \sin \varphi \sin \theta \\ r \cos \varphi \end{pmatrix}$$

$$J\Phi = r^2 \sin \varphi$$

↑ pour la paramétrisation de  $\mathbb{R}^3$  ou  $S(0, r)$

# n que l'origine

$$r \geq 0, \varphi_1, \dots, \varphi_{n-2} \in [0, \pi],$$

$$\theta \in [0, 2\pi]$$

$$\begin{cases} x_1 = r \sin \varphi_1 \dots \sin \varphi_{n-2} \cos \theta \\ x_2 = r \sin \varphi_1 \dots \sin \varphi_{n-2} \sin \theta \\ x_3 = r \sin \varphi_1 \dots \sin \varphi_{n-3} \cos \varphi_{n-2} \\ \vdots \\ x_{n-1} = r \sin \varphi_1 \cos \varphi_2 \\ x_n = r \cos \varphi_1 \end{cases}$$

$$J \Phi = r^{n-1} \sin^{n-2} \varphi_1 \dots \sin \varphi_{n-2}$$

↑ même jacobien pour  $\mathbb{R}^n$   
et  $S(0, r)$

D'autres choix de paramétrisation  $\exists$  dans la littérature

# Digression: Mesure vs Intégrale

$f: [a, b] \rightarrow \mathbb{R}$  continue

$\int_a^b f(x) dx = ?$   $\rightarrow F(b) - F(a)$   
 $\rightarrow$  limite Sommes de Riemann

l'intégrale de  $f$  / mesure de Lebesgue sur  $\mathbb{R}$

$\Sigma =$  (hyper) surface paramétrée

$\int_{\Sigma} f d\sigma = ?$   $\rightarrow$  formule ci-dessus

l'intégrale de  $f$  / mesure "de Hausdorff  $(n-1)$ -dim."  $\mathcal{H}^{n-1}$



# Retour aux formules intégrales:

## Thm flux - divergence

Hyp.  $\Omega \in \text{Lip}$ ,  $\Omega \subset \mathbb{R}^n$

$F \in C^1(\bar{\Omega}; \mathbb{R}^n)$

(HC)

Concl. 
$$\int_{\Omega} \text{div } F = \int_{\partial\Omega} F \cdot \nu \, d\sigma$$

## COROLLAIRES

### IPP

Hyp.  $\Omega \in \text{Lip}$ ,  $\Omega \subset \mathbb{R}^n$

$f, g \in C^1(\bar{\Omega})$

(HC)

Concl. 
$$\int_{\Omega} (\partial_j f) g = \int_{\Omega} \nu_j f g - \int_{\Omega} f \partial_j g$$

je coordonnée de  $\nu$

## 1<sup>e</sup> formule de Green

Hyp.  $\Omega \in \text{Lip}$ ,  $\Omega \subset \mathbb{R}^n$

$f \in C^2(\bar{\Omega})$ ,  $g \in C^1(\bar{\Omega})$

(HC)

Concl. 
$$\int_{\Omega} (\Delta f) g = \int_{\Omega} \frac{\partial f}{\partial \nu} g - \int_{\Omega} \nabla f \cdot \nabla g$$

$\parallel$   
 $\nu \cdot \nabla f$

## 2<sup>e</sup> formule de Green

Hyp.  $\Omega \in \text{Lip}, \Omega \subset \mathbb{R}^n$

$f, g \in C^2(\bar{\Omega})$

(Hc)

Concl.

$$\int_{\Omega} (\Delta f) g = \int_{\partial\Omega} \left( \frac{\partial f}{\partial \nu} g - f \frac{\partial g}{\partial \nu} \right) + \int_{\Omega} f \Delta g$$



# QUELQUES SOLUTIONS FONDAMENTALES

## Le Laplacien

$$E(x) = \begin{cases} \frac{1}{2\pi} \ln|x|, & n=2 \\ -\frac{1}{\sigma_n (n-2) |x|^{n-2}}, & n \geq 3 \end{cases}$$

↑  
mesure de  $S(0,1) \subset \mathbb{R}^n$

Thm.  $E$  solution fondamentale  
de  $\Delta$

Preuve :

Etape 1.  $E$  mesurable

Etape 2.  $E \in L^1_{loc}$

Intégrales de référence

$$\int_{B(0,1)} \frac{1}{|x|^a} dx < \infty \text{ ssi } a < n$$

$$\int_{\mathbb{R}^n \setminus B(0,R)} \frac{1}{|x|^a} dx < \infty \text{ ssi } a > n$$

Etape 3. On doit mg

$$\int_{\mathbb{R}^n} \underbrace{E(-x)}_{= E(x)} \Delta \varphi(x) dx = \varphi(0), \quad \forall \varphi \in C_c^\infty(\mathbb{R}^n)$$

Idée : 2<sup>e</sup> formule de Green :  
mais problème en  $x=0$

Solution: calculer  $\int E(x) \Delta \varphi(x)$

$$\mathbb{R}^n \setminus \overline{B(0, \varepsilon)} = \Omega_\varepsilon$$

2<sup>e</sup> formule de Green  $\Rightarrow$

$$\int_{\Omega_\varepsilon} E(x) \Delta \varphi(x) = \int_{\Omega_\varepsilon} \underbrace{\Delta E(x)} \varphi(x)$$

$$\Omega_\varepsilon = 0 \text{ (le prouver!)} + \int_{\partial \Omega_\varepsilon} \left( \frac{\partial \varphi}{\partial \nu} E - \varphi \frac{\partial E}{\partial \nu} \right)$$

$$+ \int_{\partial \Omega_\varepsilon} \left( \frac{\partial \varphi}{\partial \nu} E - \varphi \frac{\partial E}{\partial \nu} \right)$$

Etape 4.

$$\left| \int_{\partial \Omega_\varepsilon} \frac{\partial \varphi}{\partial \nu} E \right| \leq \mathcal{H}^{n-1}(\partial \Omega_\varepsilon) \|\Delta \varphi\|_{L^\infty} \times$$

$$\left| \int_{\partial \Omega_\varepsilon} \varphi \frac{\partial E}{\partial \nu} \right| \xrightarrow{\varepsilon \rightarrow 0} 0,$$

en utilisant



Exo  $\mathcal{H}^{n-1}(S(o, r)) = r^{n-1} \sigma_n$   
 $= r^{n-1} \mathcal{H}^{n-1}(S(o, 1)).$

Etape 5.

$$-\int_{\partial\Omega_\varepsilon} \frac{\partial \varphi}{\partial \nu} = \text{Calcul: } -\frac{\partial \varphi}{\partial \nu} = \frac{1}{\varepsilon^{n-1} \sigma_n}$$

$$\frac{1}{\varepsilon^{n-1} \sigma_n} \int_{S(o, \varepsilon)} \varphi = \frac{1}{\varepsilon^{n-1} \sigma_n} \int_{S(o, \varepsilon)} (\varphi - \varphi(o)) + \varphi(o)$$

$\uparrow$   
 car  $\mathcal{H}^{n-1}(S(o, \varepsilon)) = \varepsilon^{n-1} \sigma_n$

$$\left| -\int_{\partial\Omega_\varepsilon} \frac{\partial \varphi}{\partial \nu} - \varphi(o) \right| \leq \max_{x \in S(o, \varepsilon)} |\varphi(x) - \varphi(o)|$$

$\xrightarrow{\varepsilon \rightarrow 0} 0$

Conclusion :

$$\int_{\mathbb{R}^n} E(x) \Delta \varphi(x) dx = \begin{matrix} \uparrow \\ E \in L^1_{loc} + TCD \text{ (le prouve!) } \end{matrix}$$

$$\lim_{\varepsilon \rightarrow 0} \int_{\mathbb{R}^n \setminus \overline{B(0, \varepsilon)}} E(x) \Delta \varphi(x) dx = \varphi(0). \quad \square$$


---

Corollaire.  $f \in C_c^\infty(\mathbb{R}^n) \Rightarrow$

$u = E * f$  vérifie  $\Delta u = f. \quad \square$

# Equation des ondes 1D

$$\partial_t^2 - \partial_x^2$$

Thm.

$$E(x, t) = \frac{1}{2} H(t - |x|)$$

est solution fondamentale de  $\partial_t^2 - \partial_x^2$

fonction de Heaviside

$$H(t) = \begin{cases} 1, & t > 0 \\ 0, & t \leq 0 \end{cases}$$

Voir en TD

Rq:  $E(x, t) = \frac{1}{2} \mathbb{1}_{\{(x, t); |x| < t\}}$



# Equation de la chaleur

$$L = \partial_t - \Delta_x$$

Thm.  $E(x,t) = \begin{cases} \frac{1}{(4\pi t)^{n/2}} e^{-\frac{|x|^2}{4t}}, & t > 0 \\ 0, & t \leq 0 \end{cases}$

est solution fondamentale de  $L$ .

Voir TD ou

Hörmander,

Vol. I

Thm 3.3.3, p. 81

# Equation de Schrödinger 1D

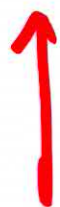
$$Su = u_t - i u_{xx}$$

$$S = \partial_t - i \partial_{xx}$$

Thm

$$E(x, t) = \begin{cases} \frac{1}{\sqrt{4\pi i t}} e^{i \frac{x^2}{4t}}, & \text{si } t > 0 \\ 0, & \text{si } t \leq 0 \end{cases}$$

est une solution fondamentale de  $S$ .



voir ID ou Hörmander, vol. I,  
Thm 3.3.5, p. 82

Existence de la solution  
fondamentale

Thm (Malgrange-Ehrenpreis)

Tout  $P(\partial) \neq 0$  admet une  
solution fondamentale distribution

généralisation (L. Schwartz)  
de la notion de fonction loca-  
lement intégrable

Mais en général  $E \notin L^1_{loc}$